

# ГИГАНТСКОЕ ДВУХФОНОННОЕ РЕЗОНАНСНОЕ КОМБИНАЦИОННОЕ РАССЕЯНИЕ СВЕТА В КВАЗИДВУМЕРНОЙ ЭЛЕКТРОННОЙ СИСТЕМЕ В МАГНИТНОМ ПОЛЕ

*Л. И. Коровин, С. Т. Павлов, Б. Э. Эшпулатов*

Сечение двухфононного РКРС в квантовой яме при включении магнитного поля  $H$  возрастает в  $\alpha_0^3$  раз по отношению к объемному случаю при  $H=0$  ( $\alpha_0$  — константа электрон-фононной связи,  $\alpha_0 \ll 1$ ).

1. Понижение размерности электронной системы приводит к усилению резонансных эффектов. Это отчетливо проявляется в резонансном комбинационном рассеянии света (РКРС) с участием оптических фононов. Сечение  $\sigma_N$  РКРС, сопровождающегося испусканием  $N$  фононов, которое в объемном полупроводнике  $\sim \alpha_0^3 (N \geq 4)$  [1, 2], в сильном магнитном поле возрастает в  $\alpha_0^2$  раз, как это было теоретически предсказано в [3] и изменено в РКРС в [4] и в явлении возгорания экситонной люминесценции в [5].

В квантовой яме из-за изменения характера электрон-фононного взаимодействия РКРС также усиливается по сравнению с объемным случаем в  $\alpha_0^{-1}$  раз ( $\sigma_N \sim \alpha_0^3, N \geq 2$ ) [6]. Следует ожидать, что дальнейшее ограничение движения электрона в квантовой яме при включении магнитного поля приведет к сечению РКРС, не содержащему в качестве множителя вообще какой-либо положительной степени малой константы связи.

2. Ниже рассматривается процесс РКРС квантовой ямой с испусканием двух  $LO$  фононов в сильном магнитном поле  $H$ , направленном перпендикулярно плоскости ямы (плоскость  $xy$ ). Движение электрона в этом случае полностью квантовано, и его спектр состоит из серии уровней, которым соответствуют числа размерного квантования  $\mathfrak{N}$  и числа Ландау  $n$ . Каждый уровень вырожден по положению центра осциллятора. Потенциальные барьеры на границах ямы ( $z=0$  и  $z=d$ ) предполагаются бесконечно высокими. Частотная зависимость дифференциального сечения рассеяния света определяется тензором рассеяния 4-го ранга  $S_{\beta\gamma\beta'\gamma'}$ , общая формула для которого имеет вид [7]

$$S_{\beta\gamma\beta'\gamma'} = \frac{S_0}{2\pi\omega_i^2\omega_s^2} \int_{-\infty}^{\infty} dt e^{i(\omega_i - \omega_s)t} \langle \sigma_{\beta'\gamma'}^{\dagger}(t) \sigma_{\beta\gamma}(0) \rangle, \quad (1)$$

$$\sigma_{\beta\gamma}(t) = -\frac{i}{\hbar S_0} \int_{-\infty}^{\infty} d\tau e^{i\omega_i\tau} [I_{\beta}(t), I_{\gamma}(t - \tau)], \quad I_a = \int dx dy \int_0^d dz j_a(x, y, z). \quad (2)$$

Здесь  $I_a(t)$  — проекция оператора тока в гейзенберговском представлении;  $S_0$  — нормировочная площадь;  $\omega_i, \omega_s$  — частоты падающего и рассеянного излучения;  $\langle \dots \rangle$  — усреднение по основному состоянию системы. Предполагаются низкие температуры, при которых валентная зона заполнена, а зона проводимости пуста.

Расчет проводился для квантовой ямы в приближении эффективной массы и параболического закона дисперсии. Предполагалось, что выполняются соотношения  $\Omega_e \gg \Omega_h$ ,  $\Omega_e \approx \omega_{LO}$ , где  $\Omega_{e(h)} = |e|H/cm_{e(h)}$ ,  $\omega_{LO}$  — частота  $LO$  фона,  $m_{e(h)}$  — эффективная масса электрона (дырки). Дисперсия  $LO$  фона не учитывается. Наиболее эффективным каналом процесса многофононного РКРС являются прямое рождение электронно-дырочной пары (ЭДП) и «непрямая» аннигиляция с испусканием кванта

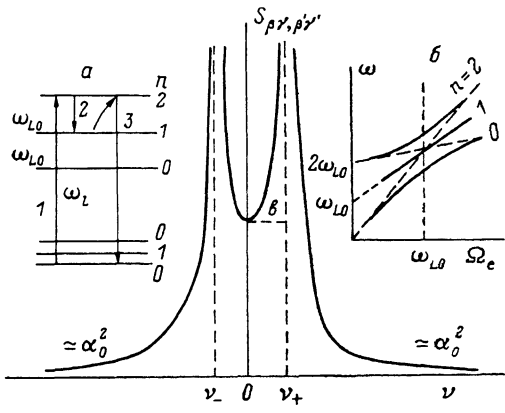
рассеянного света на последнем этапе (вставка *a* на рисунке). В случае двухфононного РКРС ограничимся областью частот  $\omega_l$  в интервале

$$\omega_g + (3 + \frac{1}{2})\Omega_e + \omega_0 > \omega_l \geq \omega_g + (2 + \frac{1}{2})\Omega_e + \omega_0, \quad (3)$$

где  $\hbar(\omega_0)$  — энергия размерного квантования. Предполагается, что за действован только первый уровень размерного квантования, т. е.  $\Omega_e < \omega_0$ . Прямое рождение ЭДП приводит к появлению на уровнях  $n=2$  электрона и дырки. При  $\Omega_e \gg \Omega_h$  дырка не рассеивается, а электрон испускает два фонона. Если

$$\omega_l = \omega_g + (2 + \frac{1}{2})\Omega_e + \omega_0, \quad \Omega_e = \omega_{L0}, \quad (4)$$

то переход  $n=2 \rightarrow n=1$  реален. Процесс испускания второго фонона является виртуальным, так как в противном случае запрещена аннигиляция ЭДП. При расчете тензора рассеяния, который проводился с использованием графической техники [3], необходимо было учесть расщепление уровней электрон-фононной системы, которое имеет место при наличии элек-



Частотная зависимость тензора рассеяния света в произвольном масштабе,  
 $b = [F(1, 0) + F(2, 1)]^{-2}$ .

Вставка *a* — схема переходов между уровнями Ландау. 1, 2 — реальные переходы; 3 — виртуальный переход с испусканием второго фонона и кванта рассеянного света; вставка *b* — схема расщепления уровней энергии  $\hbar\omega$  электрон-фононной системы.

tron-фононного взаимодействия [8, 9]. В двухфононном РКРС пересекаются три уровня, как это показано на вставке *b* рисунка.

В приближении  $m_h \gg m_e$  тензор  $S_{\beta\gamma\beta'\gamma'}$  имеет вид

$$S_{\beta\gamma\beta'\gamma'} = 4\pi\omega_{L0}^2 R^2 (\hbar\omega_l\omega_s)^{-2} \left(\frac{e}{m_0}\right)^4 P_{\beta\gamma}^* P_{\beta'}^* P_{\gamma'} C(2, 1) [\nu^2 - F(1, 0) - F(2, 1)]^{-2} \times \delta(\omega_l - \omega_s - 2\omega_{L0}), \quad R = (c\hbar/eH)^{1/2}, \quad (5)$$

$P_\alpha$  — межзонный матричный элемент импульса;  $m_0$  — масса свободного электрона;  $C(2, 1)$ ,  $F(1, 0)$  и  $F(2, 1)$  — положительные плавные функции параметра  $d/R$ . В случае  $(d/R) < 1$   $F(1, 0) = \sqrt{\pi}/2$ ,  $F(2, 1) = 1.19\sqrt{\pi}$ . Величина  $\nu$  определяет зависимость сечения рассеяния от частоты  $\omega_l$

$$\nu = \eta^{-1/2} (\omega_l - \omega_g - \frac{5}{2}\omega_{L0} - \omega_0/\omega_{L0}), \quad \eta = (\alpha_0/2)(\Omega_e/\omega_{L0})^{1/2}. \quad (6)$$

Формула (5) приведена для случая  $\Omega_e = \omega_{L0}$ . Частотная зависимость приведена на рисунке. В окрестности пиков, расположенных в точках  $\nu_\pm = \pm [F(2, 1) + F(1, 0)]^{1/2}$ , исчезает зависимость  $S_{\beta\gamma\beta'\gamma'}$  от константы связи. При удалении от интервала  $[\nu_-, \nu_+]$  на расстояние  $\gg \sqrt{\nu} S_{\beta\gamma\beta'\gamma'} \sim \alpha^2$ . Поскольку в рассматриваемой модели пренебрегается дисперсией фононов, то частоты  $\omega_l$  и  $\omega_s$  связаны соотношением  $\omega_s = \omega_l - 2\omega_{L0}$  и зависимость сечения от  $\omega_l$  и  $\omega_s$  идентична.

3. Таким образом, теория предсказывает резкое отличие многофононного РКРС в квантовой яме в сильном магнитном поле от рассеяния в объемном полупроводнике в сильном магнитном поле и в квантовой яме в отсутствие поля. Это отличие обусловлено полной дискретизацией электронных уровней в яме. При выполнении резонансного условия  $\Omega_e = \omega_{L0}$  имеется узкая область частот  $\omega_l$  ( $|\omega_l - \omega_n - \frac{5}{2}\omega_{L0} - \omega_0| \leq \sqrt{\alpha_0} \omega_{L0}$ ), в которой сечение рассеяния достигает гигантских величин. Вне этой области  $S_{\beta\gamma\beta'\gamma'} \sim \alpha_0^2$  и рассеяние резко спадает. В области же гигантского рассеяния выделяются два пика, расстояние между которыми определяется расщеплением уровней и равно по порядку величины  $\sqrt{\alpha_0} \omega_{L0}$ . Низший уровень (электрон  $n=0+2$  фонона) не проявляется в рассеянии, так как он не участвует в переходе. Если  $\Omega_e \neq \omega_{L0}$ , то реальные переходы между уровнями Ландау невозможны. В этом случае  $S_{\beta\gamma\beta'\gamma'} \sim \alpha_0^2$  во всей области частот  $\omega_l$ . Вывод о существовании области гигантского рассеяния сохраняется и для РКРС с числом испущенных фононов, большим двух. Однако картина расщепления пиков будет иной.

### Список литературы

- [1] Zeyher R. // Sol. St. Comm. 1975. V. 16. N 1. P. 49–55.
- [2] Goltsev A. V., Lang I. G., Pavlov S. T., Bryzhina M. F. // J. Phys. C. 1983. V. 16. N 21. P. 4221–4241.
- [3] Белицкий В. И., Гольцев А. В., Ланг И. Г., Павлов С. Т. // ФТТ. 1983. Т. 25. № 3. С. 1224–1225; ЖЭТФ, 1984. Т. 86. № 1. С. 272–286.
- [4] Ruf T., Cardona M. // Phys. Rev. Lett., 1989. V. 63. N 20. P. 2288–2290.
- [5] Сесяян Р. П., Юлдашев Ш. У. // ФТТ. 1988. Т. 30. № 1. С. 12–22.
- [6] Коровин Л. И., Павлов С. Т., Эшпулатов Б. Э. // Письма в ЖЭТФ. 1990. Т. 51. № 10. С. 516–517.
- [7] Коровин Л. И., Павлов С. Т., Эшпулатов Б. Э. // ФТТ. 1988. Т. 30, № 12. С. 3665–3671; Препринт ЛФТИ. 1989. № 1400. С. 50.
- [8] Johnson E. I., Larsen D. M. // Phys. Rev. Lett. 1966. V. 16. P. 655–657.
- [9] Коровин Л. И., Павлов С. Т. // Письма в ЖЭТФ. 1967. Т. 6. № 2. С. 525–528; ЖЭТФ. 1967. Т. 53. № 5 (11). С. 1708–1716.

Физико-технический институт  
им. А. Ф. Иоффе АН СССР  
Ленинград

Поступило в Редакцию  
24 сентября 1990 г.

УДК 537.226; 537.311.32; 538.956

© Физика твердого тела, том 33, № 3, 1991  
Solid State Physics, vol. 33, N 3, 1991

## ДЕЛОКАЛИЗАЦИЯ ЗОННОЙ ДЫРКИ В MgO

B. A. Лобач, I. P. Рубин

Цель данной работы состояла в выяснении роли нестандартного для ионных кристаллов распределения электронной плотности в MgO («Mg<sup>2+</sup>O<sup>-</sup> плюс один электрон» — модель [1–4]) в отсутствие прямых проявлений аутолокализованной дырки (АЛД), общепринятых для щелочно-галоидных кристаллов (ЩГК) [5, 6]. Для этого самосогласованным методом многочленного рассеяния в приближении внедренного кластера (ВКП) [7] выполнены расчеты электронной структуры релаксированных кластеров [O<sub>6</sub>Mg<sub>6</sub>]<sup>+</sup> и для сравнения [F<sub>6</sub>Na<sub>6</sub>]<sup>+</sup> (рис. 1), моделирующих гипотетическую АЛД в MgO и V<sub>x</sub>-центр в NaF соответственно. Использованное здесь ВКП явно учитывает вклад кристаллического остатка в потенциал области дефекта и удобно для прямого учета смещений ионов [8, 7]. Смещения ионов в кластере [F<sub>6</sub>Na<sub>6</sub>]<sup>+</sup> фиксировались в соответствии с теоретическими и полуэмпирическими оценками [6, 8, 9] и в наших расчетах составляли 0.33 для анионов и 1-го типа (X-анионы) и 0.1 для остальных,